



حذف فلزات سنگین از پسماندهای سنتزی توسط بنتونیت طبیعی و بنتونیت فعال شده با اسید

سید حمید جزایری^۱، مجید حیاتی آشتیانی^۱، سید نظام الدین اشرفیزاده^{*۱}، محمد قنادی مراغه^۲، احمد نوزاد گلی کند^۲

۱- آزمایشگاه تحقیقاتی صنایع شیمیایی معدنی، دانشکده مهندسی شیمی، دانشگاه علم و صنعت ایران، صندوق پستی: ۱۶۸۴۶-۱۳۱۱۴، تهران - ایران

۲- پژوهشکده چرخه سوخت هسته‌ای، پژوهشگاه علوم و فنون هسته‌ای، سازمان انرژی اتمی ایران، صندوق پستی: ۱۱۳۶۵-۸۴۸۶، تهران - ایران

چکیده: در این پژوهش به بررسی امکان استفاده از بنتونیت (مونتموریلونیت) طبیعی و فعال شده با اسید به عنوان جاذبی ارزان و در دسترس برای حذف فلزات سنگین از پسماندهای مایع سنتزی پرداخته شده است. بنتونیت یکی از کانی‌های رسی آلومینوسیلیکاتی لایه‌ای است که مهم‌ترین فاز سازنده‌ی آن مونتموریلونیت می‌باشد که دارای حفرات و ساختاری در ابعاد نانو است (نانو ساختار و حفره‌ای مونتموریلونیت). مونتموریلونیت کلیه‌ی خواص بنتونیت را تحت تأثیر قرار می‌دهد. در مرحله‌ی بعدی اثر فعال‌سازی اسیدی در جذب دو فلز سرب (Pb) و تالیم (Tl) مورد بررسی قرار گرفت. در این تحقیق، پس از کانی‌شناسی، تجزیه‌ی عنصری و دانه‌بندی، جذب فلزات سنگین چون Cr، Co، Fe، Cu، Pb، Zn و Ni بر روی پنج نمونه GH1-Raw, S2-Raw, S3-Raw, G1-Raw, ES3-Raw مورد بررسی شد. سپس در فرایند فعال‌سازی اسیدی، از سولفوریک اسید برای تقویت قابلیت جذب بنتونیت استفاده شد و اثر غلاظت، نسبت مایع به جامد، زمان و دمای فعال‌سازی بر میزان جذب دو فلز سنگین سرب و تالیم بر روی دو نمونه‌ی طبیعی و فعال شده GH1-Raw و ES3-Raw مورد بررسی قرار گرفت. در تمامی موارد فاز غالب نانومونتموریلونیت موجود در بنتونیت‌ها به علت ساختار ویژه‌ی نانومونتموریلونیتی، از قابلیت جذب بیشتری نسبت به سایر رس‌ها برخوردار بوده است.

واژه‌های کلیدی: بنتونیت، جذب سطحی، فعال‌سازی اسیدی، فلزات سنگین، نانو ساختار و نانوحفره‌ای مونتموریلونیت

Heavy Metal Removal from Synthetics Wastes by Natural and Acid-Activated Bentonites

S.H. Jazayeri¹, M. Hayati Ashtiani¹, S.N. Ashrafizadeh^{*1}, M. Ghannadi Maragheh², A. Nozad Golikand²

1- Mineral Processing Laboratory, Chemical Engineering Department, Iran University of Science and Technology, P.O. Box: 16846-13114, Tehran-Iran

2- Nuclear Fuel Cycle Research School, Nuclear Science and Technology Research Institute, AEOI, P.O.Box: 11365-8486, Tehran – Iran

Abstract: This paper examines heavy metals removal from synthetics wastes by the use of natural and sulfuric acid-activated bentonite so that a cheap adsorbent can be attained for removing these metals from the wastes. Bentonite is a 2:1 layer aluminosilicate whose dominant mineral is montmorillonite which is a nano-structure and nanoporous material. Montmorillonite affects all the properties of bentonite. In the next step, the effect of acid activation on the adsorption of both of lead (Pb) and thallium (Tl) is studied. In this research, after the mineralogical and chemical composition analyses by X-ray diffraction and fluorescence (XRD and XRF) methods, granulometric analysis is carried out on five samples namely, S2-Raw, S3-Raw, ES3-Raw, G1-Raw and GH1-Raw to remove the heavy metals such as Cr, Co, Cu, Fe, Pb, Tl, Ni, and Zn accompanying atomic absorption spectroscopy (AAS). Then, the effect of four factors including concentration, liquid to solid ratio (L/S), time, and activation temperature in acid activation process were studied. This process is done by a mineral acid, sulfuric acid, to promote the adsorbability of lead and thallium in both natural and activated types of ES3-Raw and GH1-Raw. In all case, due to the presence of dominant mineral of nano-montmorillonite and its unique structure, montmorillonite has a higher adsorbability in comparison with that of the other clay minerals.

Keywords: Bentonite, Adsorption, Acid-Activation, Heavy Metals, Nanostructured and Nanoporous Montmorillonite

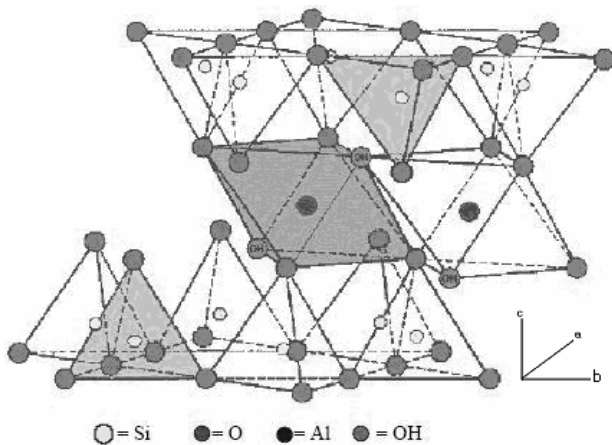
*email: ashrafi@iust.ac.ir

تاریخ دریافت مقاله: ۸/۹/۱۲ تاریخ پذیرش مقاله: ۸/۷/۸



۱- مقدمه

اصطلاح «کانی رسی»^(۱) برای فیلوسیلیکات‌های (لغت مخصوص ساختارهای سیلیکاتی لایه‌ای) خاصی چون سیلیکات‌های آلومینیمی یا منزیمی لایه‌ای و آبدار با اندازه‌ی ذرات کوچک‌تر از $2\mu\text{m}$ به کار می‌رود. واژه‌ی «رس» نیز از دیدگاه علمی به آن بخش از ذرات غیرآلی کلوئیدی خاک اطلاق می‌شود که ابعاد ذرات آن کوچک‌تر از $2\mu\text{m}$ هستند. این تعریف بدون در نظر گرفتن ترکیب و ساختار بلورین رس به کار می‌رود [۱ و ۲]. ویژگی‌هایی نظیر سطح مخصوص بالا، مقاومت شیمیایی و مکانیکی، ساختار لایه‌ای، ظرفیت تبادل کاتیونی بالا موارد استفاده‌های بسیاری از خاک‌های رسی را به عنوان جاذب‌های طبیعی برای حذف فلزات سنگینی از پساب‌های صنعتی در سال‌های اخیر به همراه داشته است. مطابق جدول ۱، از مقایسه‌ی قیمت برخی از جاذب‌ها با خاک‌های رسی مشخص می‌شود که خاک‌های رسی به لحاظ قیمت نیز می‌توانند جاذب‌های مناسب و ارزان قیمتی حتی در مقایسه با ژنوپلیت باشند [۱۱ تا ۱۲].



شکل ۱- ساختار مونتموریلونیت.

در نتیجه، ابعاد محور «C» در مونتموریلونیت از مقدار کمینه‌ی 9.6\AA در وقتی که هیچ مولکول قطبی بین لایه‌ها موجود نمی‌باشد تا مقدادر بالاتر متغیر است. فاصله‌ی محوری «C» براساس کاتیون‌های موجود در بین لایه‌های سیلیکاتی نیز متغیر است. فرمول مونتموریلونیت_۴^{VII}O_{۰.۶}(OH)_{۰.۶}(Al_{۰.۷}Mg_{۰.۳})_{۰.۷} باشد و ترکیب درصد شیمیایی نظری آن بدون در نظر گرفتن مواد میان لایه‌ای این است

$$\text{SiO}_2, \% 66.7 - \text{Al}_2\text{O}_3, \% 28.3 - \text{H}_2\text{O}, \% 5 \quad (1)$$

فرمول مونتموریلونیت، نشان‌دهنده‌ی جانشینی Al^{3+} با Si^{4+} در لایه‌ی چهاروجهی و جانشینی Mg^{2+} با Al^{3+} در لایه‌ی هشت‌وجهی است. بار لایه‌ای خالص مونتموریلونیت نیز برابر است با

$$[7.8(+4)] + [0.2(+3)] + [3.4(+3)] + [0.6(+2)] + [20(-2)] + [4(-1)] = -0.8 \text{ Charge/unit cell}$$

بنتونیت ماده‌ای معدنی است که مخلوط تعداد زیادی از کانی‌های مختلف رسی و گاه‌آغیررسی است. مهم‌ترین و عمده‌ترین کانی رسی آن مونتموریلونیت است که کلیه‌ی خواص بنتونیت را تحت تأثیر قرار می‌دهد.

تصویف ساختار قابل قبولی از مونتموریلونیت که مهم‌ترین سازنده‌ی بنتونیت است در سال ۱۹۳۵ توسط مارشال انجام پذیرفت [۱۲]. براساس این مشاهدات، مونتموریلونیت از دو لایه‌ی نازک چهاروجهی سیلیس که در وسط آن لایه‌ی نازک هشت‌وجهی آلومینا قرار دارد، تشکیل شده است (شکل ۱) [۱۳]. لایه‌ی چهاروجهی و هشت‌وجهی به گونه‌ای به هم دیگر متصل می‌شوند که گوشه‌های لایه‌ی چهاروجهی سیلیسی و یکی از لایه‌های هیدروکسیلی لایه‌ی هشت‌تایی تشکیل لایه‌ای مشترک می‌دهند. اتم‌های این لایه که در هر دو لایه مشترک هستند، به جای هیدروکسیل، اکسیژن می‌باشند.

واحدهای سیلیکا-آلومینا-سیلیکا در جهت‌های «a» و «b» پیوسته بوده و در جهت «C» به یک دیگر چسبیده‌اند. به هنگام چسبیدن این واحدها به یک دیگر، لایه‌های اکسیژنی هر واحد با اکسیژن واحدهای همسایه مشترک می‌باشند. به این دلیل، پیوندی خیلی ضعیف و شکاف قابل ملاحظه‌ای بین این واحدها پدید می‌آید [۱۴]. پی‌آمد مشخصات ساختاری این نوع رس آن است که آب و مولکول‌های قطبی به سادگی وارد فضای بین لایه‌ها می‌شوند که این امر به انبساط لایه‌ای در جهت بلور‌شناختی «C» منجر می‌شود.



جدول ۳- دانه‌بندی نمونه‌های مختلف.

GH1-Raw (g)	G1-Raw (g)	ES1-Raw (g)	S1-Raw (g)	S2-Raw (g)	Mesh No. (μm)
۳۱,۸۳	۴۶,۳۲	۱۰,۰۵	۷	۴,۴۱	-۱۶+۱۲۰ (-۱۱۹,۰+۱۲۵)
۲۳,۵۴	۲۴,۴۴	۲۱,۳۴	۲۹,۵۳	۲۵,۲۴	-۱۲۰+۲۰۰ (-۱۲۵+۷۱)
۱۷,۱۷	۱۲,۶۷	۲۳,۲۶	۲۳,۱۷	۱۷,۱۰	-۲۰۰+۳۲۵ (-۷۱+۴۰)
۶,۵۵	۱,۲۱	۴,۲۰	۱۰,۱۱	۱۰,۲۲	-۲۲۵+۴۰۰ (-۴۰+۳۶)
۱۹,۲۸	۱۳,۲۵	۴۰,۲۰	۲۹,۳۲	۴۲,۶۶	(-۳۶)-۴۰۰
۹۸,۹۱	۹۷,۸	۹۹,۸۵	۹۹,۱۳	۹۹,۶۳	جمع کل (g)

۳-۲ تعیین میزان جذب فلزات سنگین

به منظور تعیین میزان جذب فلزات سنگین برای بنتونیت و بنتونیت فعال شده با اسید از ضریب توزیع K_d (فرمول ۲) و شرایط زیر استفاده شد. به $0,3\text{ g}$ از هر نمونه بنتونیت طبیعی یا فعال شده با اسید پس از انتقال به ظرف پلی‌اتیلنی در بار مقدار 25 ml از نمک نیترات‌های کاتیون‌های مورد نظر $\text{Pb, Fe, Cu, Co, Cr, Tl}$ و Zn اضافه و در دمای 25°C به مدت 24 ساعت در تکاننده با تنیدی 250 دور در دقیقه هم‌زده شد. میزان جذب توسط بنتونیت فعال و غیرفعال با استفاده از روش طیف‌سنجی جذب اتمی (AAS) تعیین گردید.

$$K_d = [(C_0 - C_i)/C_i] * (V/M) \quad (2)$$

که در آن،

K_d ضریب توزیع (ml/g)،

C_0 غلظت اولیه (ppm)

C_i غلظت نهایی (ppm)

V حجم محلول اولیه (در اینجا 25 ml)،

M وزن جاذب یا مبادله کننده (در اینجا $0,3\text{ g}$) می‌باشد.

۳- یافته‌ها و بحث

۳-۱ آنالیز XRD

براساس اطلاعات جدول ۲ و شکل ۲ قله‌های تیز اول، مربوط به خانواده‌ی کانی‌های رسی اسماکتیتی می‌باشد که مونتموریلونیت مهم‌ترین عضو آن و کانی رسی سازنده‌ی بنتونیت می‌باشد. علاوه بر فاز غالب مونتموریلونیت، سایر کانی‌ها چون کریستوبالیت،

بار منفی خالص نیز توسط کاتیون‌های جذب شونده در بین لایه‌ها و در اطراف لبه‌ها خنثی می‌شود.

مونتموریلونیت یک کانی رسی با قابلیت جانشینی ایزومورفی^(۲) بالا می‌باشد. کاتیون‌های قابل تعویض در ساختار ۱:O:T آن با بار منفی تولیدی در اثر جانشینی ایزومورفی موازن می‌شوند. سیستیک تبادل کاتیون‌های قابل تبادل سریع می‌باشد و کاتیون‌های Na^+ و Ca^{2+} که در بخش‌های خارجی تر قرار دارند با کاتیون‌های محلول به سادگی مبادله می‌شوند و غلظت آن را تغییر می‌دهند. جذب فلزات سنگین از پسماند مایع به pH محلول نیز مستگی دارد.

براساس تعریف لامار [۱۵] «فعال‌سازی»^(۳) نوعی فرآوری شیمیایی یا فیزیکی است که برای نوع معینی از خاک‌های رسی استفاده می‌شود تا قابلیت جذب آن را افزایش دهد. براساس تعریف گرگ [۱۶]، لغت «فعالیت» بیان گر نوعی فعالیت شیمیایی یا فیزیکی - شیمیایی است که افزایش آن با افزایش مساحت سطح جامد معمولاً ناچیز است [۱۷ و ۱۸].

۲- روش تحقیق

۲-۱ آنالیزهای XRF و XRD

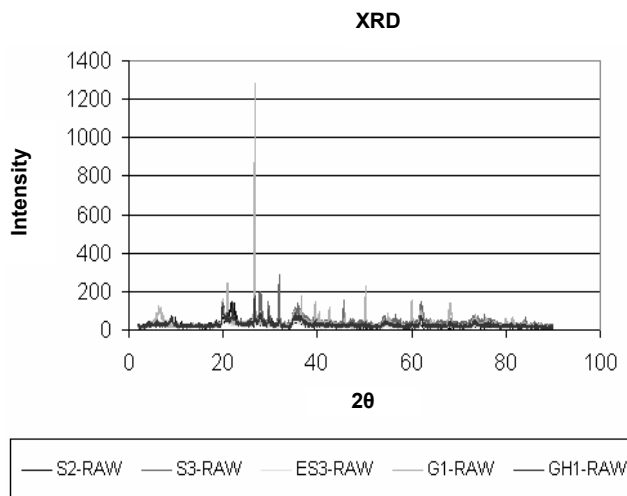
برای انجام آزمایش‌ها از ۵ نمونه‌ی طبیعی بنتونیت با نام‌های GH1-Raw, ES1-Raw, S1-Raw, G1-Raw و S2-Raw استفاده شد (جدول ۲). عملیات کانی‌شناسی و تجزیه‌ی عنصری نمونه‌های فوق با استفاده از تکنیک‌های XRD و XRF و Philips PW 1800 XRD و Philips ED-2000 انجام پذیرفت.

۲-۲ دانه‌بندی

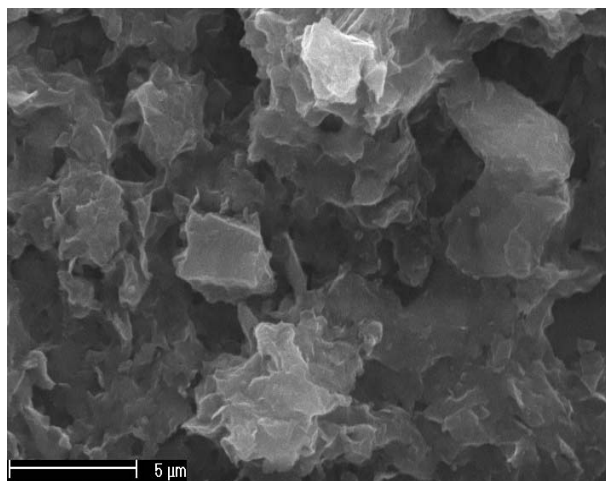
با استفاده از تعدادی الک، محدوده‌هایی برای توزیع دانه‌بندی ایجاد و درصد فازی و میزان‌الی بنتونیت در این محدوده‌ها مشخص شد. بدین ترتیب سهم کانی‌های رسی به ویژه مونتموریلونیت و غیررسی در هر محدوده‌ی دانه‌بندی تعیین گردید (جدول ۳).

جدول ۳- نتایج تجزیه‌ی نمونه‌های مختلف با استفاده از تکنیک XRD.

نمونه	نتایج آنالیز
S2-Raw	مونتموریلونیت، زنولیت، کریستوبالیت، هالیت
S3-Raw	مونتموریلونیت، کریستوبالیت، کوارتز، هالیت، آلیت (فلدسبار)، پاریت، باسانیت
ES1-Raw	مونتموریلونیت، کریستوبالیت، کوارتز، آلیت (فلدسبار)
G1-Raw	مونتموریلونیت، کریستوبالیت، کوارتز
GH1-Raw	مونتموریلونیت، کریستوبالیت، کوارتز، کلسیت



شکل ۲- الگوی پراش پرتو ایکس نمونه‌های مختلف.



شکل ۳- عکس موتموریلوئیت S2-Raw که بیان گر اندازه ریز و ساختار پولکی آن می‌باشد.

کوارتز و گاهای هالیت، آلبیت (فلدسبار) و کلسیت نیز مشاهده گردید. تنها نمونه‌ی S2-Raw (شکل ۳) دارای زئولیت می‌باشد که از نوع طبیعی آن و از خانواده‌ی هیولاندیت می‌باشد. با بررسی بیشتر نام این عضو کلینوپیتولایت تعیین شد [۱۹]. زئولیت‌ها به علت ساختار شبکه‌ای، از قابلیت جذب بالایی برای فلزات سنگین برخوردار می‌باشند.

XRF نتایج ۶-۲

نتایج تجزیه‌ی عنصری نمونه‌های مختلف با استفاده از تکنیک XRF در جدول ۴ نشان داده شده است. درصد Al_2O_3 در نمونه‌ی ES3-Raw نسبت به سایر نمونه‌ها بیشتر است و از آن جهت که سایر فازهای تشکیل‌دهنده‌ی آن Al_2O_3 ندارند نتیجه می‌شود که سهم فاز موتموریلوئیت بیشتر است و از آن محدوده‌ی ابعاد کوچک‌تر از مش ۴۰۰ یا ۳۶ μm ، بیشتر از بقیه محدوده‌ها است (در جدول ۳ متنظر از ۱۶+۱۲۰- ذراتی است که از غربال با مش ۱۶ عبور کرده‌اند یعنی، ریزتراند و از غربال با مش ۱۲۰+ عبور نکرده‌اند یعنی، درشتتراند و روی الک با مش ۱۲۰+ باقی مانده‌اند) میزان جذب بیشتری برای آن پیش‌بینی می‌شود. نتایج به دست آمده برای میزان جذب (جدول ۵) نیز پیش‌بینی فوق را تأیید می‌نماید.

جدول ۴- نتایج تجزیه‌ی عنصری نمونه‌های مختلف با استفاده از تکنیک XRF.

GHI-Raw	GI-Raw	ES3-Raw	S3-Raw	S2-Raw	آنالیت
۲	۱,۴	۱	۲,۲	۰,۷	% Na_2O
۲	۲,۸	۲,۲	۳,۶	۱,۴	% MgO
۱۳,۲	۱۶	۲۲	۱۴,۳	۱۰,۳	% Al_2O_3
۷۱,۶	۷۶,۲	۷۱,۶	۶۶,۴	۸۱	% SiO_2
۰,۳	۰,۵	۰,۷	۰,۶	۰,۲	% P_2O_5
۰,۳	۰,۵	-	۵,۵	۱,۴	% SO_4
۰,۲	-	۳۰۰ ppm	۵,۵	۱,۴	% Cl
۰,۴	۰,۳	۰,۱	۰,۲	۰,۸	% K_2O
۲,۹	۱,۷	۰,۲	۰,۲	۱,۶	% CaO
۰,۵	۰,۱	۸۵۰ ppm	۰,۵	۰,۲	% TiO_2
۳,۶	۰,۸	۱,۸	۲	۱,۸	% TFeO*
۲	۱,۴	۱	۲,۵	۱,۲	% H_2O

*TFeO = $\text{FeO} + \text{Fe}_2\text{O}_3$



جدول ۵- میزان جذب و ضریب توزیع (K_d) عناصر Cr، (Cr^{۳+}) Cr، (Ni^{۲+}) Ni، (Tl^{۱+}) Tl، (Pb^{۲+}) Pb، (Fe^{۳+}) Fe، (Cu^{۲+}) Cu، (Co^{۲+}) Co، (Zn^{۲+}) Zn برای ۵ جاذب .GH۱-RAW، G۱-RAW، ES۳-RAW، S۲-RAW، S۱-RAW

Zn ^{۲+}	Ni ^{۲+}	Tl ^{۱+}	Pb ^{۲+}	Fe ^{۳+}	Cu ^{۲+}	Co ^{۲+}	Cr ^{۳+}	کاتیون جذب شده
۳۲۷	۲۹۳	۲۰۴۴	۱۰۳۶	۱۸۵	۳۱۸	۲۹۵	۱۷۳	غلهای اولیه (ppm)
۵۰	۱۲۲	۷۰۰	۱۱۲	۸۸	۴۰	۶۰	۶,۵	غلهای برای S۲-RAW ppm
۴۵۶	۱۲۶	۱۶۰	۶۸۸	۹۲	۵۷۱	۳۲۶	۲۱۳۵	S۲-RAW برای K _d
۸۷	۱۱۱	۱۱۵۰	۹	۱۳۹	۷۶	۸۲	۱,۵	غلهای برای S۳-RAW ppm
۲۲۸	۱۳۷	۶۵	۹۵۰,۹	۲۷	۲۶۵	۲۱۵	۹۵۲۸	S۳-RAW برای K _d
۹	۲۱	۱۵۵۰	۱۳	۱۰۱	۱۲	۲۲	۱	غلهای برای ES۳-RAW ppm
۲۷۸۵	۱۰۷۹	۲۷	۶۵۵۸	۶۹	۲۰۳۷	۱۰۱۰	۱۴۳۳۳	ES۳-RAW برای K _d
۷۱	۹۵	۱۴۳۰	۲۶۵	-	۱۰۰	۱۱۲	۹,۵	غلهای برای Gl-RAW ppm
۲۹۸	۱۷۲	۳۶	۲۴۲	-	۱۸۰	۱۳۵	۱۴۳۴	Gl-RAW برای K _d
۶۳	۱۷۵	۱۲۳۰	۲۲۲	-	۸۰	۱۰۱	۳	غلهای برای GH۱-RAW ppm
۳۴۶	۵۶	۵۵	۳۹۶	-	۲۴۸	۱۵۹	۴۷۲۲	*GH۱-RAW برای K _d

* شرایط لکهای حاصله: $M=۰,۳\text{ g}$, $V=۲۵\text{ cc}$ و با غلهای اولیه و ثانویه داده شده.

مدل درجه دوم سرعت جذب کالت را بهتر توصیف می‌نماید و جذب آن گرمایز است [۲۱]. در pH بالاتر از ۸ کالت به صورت رسوب از محلول جدا می‌شود. در این عملیات جذب، علاوه بر دلایلی نظیر میزان مونتموریلونیت و سایر ناخالصی‌ها، تغییر ساختار و تبادل کاتیون با محلول آبی منجر به جذب بیشتر Co^{۲+} از محلول می‌شود. در این بررسی به علت pH تقریباً بالای بتونیت‌ها و محلول که در حد آب مقطر است، میزان جداسازی Co^{۲+} کم می‌باشد. قسمتی از Co^{۲+} به صورت رسوب از محلول جدا شد.

در مورد مس، نشان داده شده است که افزایش pH میزان جذب مس (II) را افزایش می‌دهد. اما تشکیل رسوب در pH>۶ عامل بازدارنده در افزایش بیشتر pH است و فعال‌سازی اسیدی مونتموریلونیت باعث افزایش جذب مس (II) می‌گردد که علت آن افزایش سطح و حجم منافذ می‌باشد [۱۳]. ES۳-RAW، که خود به علت سدیمی بودن، pH آب مقطر محلول را به سمت بازی افزایش می‌دهد، باعث جداسازی بیشتر فلز مس به روشن غالب رسوب و با درجهی کم تر به روشن جذب سطحی می‌گردد. پس از ES۳-RAW بیشترین میزان جذب مربوط به بتونیت زئولیت‌دار S۲-RAW می‌باشد ($K_d=۵۷۱$). این پدیده علاوه بر رسوب گذاری، به ساختار شبکه‌ای زئولیت‌ها نیز مربوط می‌باشد که خود منجر به گیرافتادن و رسوب بیشتر کاتیون‌های Cu^{۲+} در داخل ساختار می‌شود. هم‌چنین، pH=۷/۵ در مکان‌های اسیدی بروونستدی و لویسی، بر میزان جذب وجود آن تفاوت قابل توجهی وجود ندارد هر چند که اثر مثبتی ES۳-RAW می‌افزاید.

۳- ضریب توزیع K_d

نتایج به دست آمده برای ضرایب توزیع یون‌های Cr^{۳+}, Co^{۲+}, Zn^{۲+}, Ni^{۲+}, Tl^{۱+}, Pb^{۲+}, Cu^{۲+} در جدول ۵ آورده شده‌اند.

جذب کروم (III) بر روی بتونیت گرمایز و جذب کروم (VI) بر روی آن گرمایگر است [۲۰]. در مورد حذف کروم (III)، علاوه بر عامل تبادل یونی، پیوندهای شکسته شده در لبه‌های رسی به ویژه مونتموریلونیت و میزان تشکیل رسوب Cr(OH)_۳ نیز مؤثر می‌باشند. در مورد نمونه‌ی ES۳-RAW، علاوه بر تمامی موارد فوق میزان بالای مونتموریلونیت نمونه نیز منجر به جذب بالای Cr^{۳+} شده است و pH بالای این نوع بتونیت (pH=۱۰) به علت تولید گروه‌های هیدروکسیلی به Cr(OH)_۳ فرایند جذب و رسوب بیشتر کروم به صورت کمک می‌نماید. به این علت میزان جذب کروم بیشتر از سایر فلزات گزارش شده است.

علت این که بتونیت کلسیک GH۱-RAW از ظرفیت جذب کم‌تری نسبت به بتونیت سدیک ES۳-RAW برخوردار می‌باشد این است که رسوب هیدروکسید فلزی ظرفیت جذب H⁺ کم‌تری دارد. نتایج جدول ۶ نیز بیان گر صحت این ادعا می‌باشند.

برای کالت، ظرفیت جذب لانگمویر توسط مونتموریلونیت و مونتموریلونیت فعال شده با اسید به ترتیب، ۲۸,۶ و ۲۹,۷ mg g^{-۱} می‌باشد که نسبتاً بالا است، اما بین نوع فعال و غیرفعال آن تفاوت قابل توجهی وجود ندارد هر چند که اثر مثبتی روی جذب دارد.



جدول ۶- ظرفیت جذب کادمیم (II) بر روی انواع بنتونیت و مونتموریلوینیت (یکای ظرفیت جذب لانگمویر و فروندلیچ، به ترتیب، mg g^{-1} و $\text{L}^{1/n} \text{g}^{-1}$ می‌باشد).

ظرفیت جذب فروندلیچ	ظرفیت جذب لانگمویر	جاذب
۸,۶	۲۲,۷	مونتموریلوینیت
۲,۵	۲۷,۷	ZrO
۴,۴	۳۰	TBA
۱۲,۹	۳۳,۲	مونتموریلوینیت فعل شده با اسید
-	۹,۳	بنتونیت
-	۲۶,۲	بنتونیت سدیمی
-	۷,۳	بنتونیت کلسیمی

میزان جذب تعادلی تالیم برای جاذب‌های مختلف در جدول ۵ گزارش شده است همان‌طور که مشاهده می‌شود میزان K_d ‌ها چندان مناسب نیستند که این بیان گر آن است که بنتونیت به تنهایی جاذب مناسبی برای تالیم نمی‌باشد. اما ممکن است به صورت کامپوزیت یا برای جداسازی دو فلز از یک‌دیگر نظری جداسازی سرب از تالیم مناسب باشد زیرا بنتونیت نسبت به سرب از توان جذب بالا و نسبت به تالیم از توان جذب پایینی برخوردار است. لذا می‌تواند این دو فلز را از یک‌دیگر جدا نماید. سیمیسک و دیگران [۲۳] با تهیه‌ی نوعی کامپوزیت نشان داده‌اند که میزان جذب تالیم (I) به مقدار قابل توجهی نسبت به زمانی که صرفاً از بنتونیت استفاده می‌شود، افزایش می‌یابد. بیشترین میزان جذب تالیم متعلق به نمونه‌ی S2-Raw و کمترین میزان آن متعلق به نمونه‌ی ES3-Raw می‌باشد.

در رابطه با نیکل، علت جذب پایین در نمونه‌ی GH1-Raw علاوه بر حضور ناخالصی‌های تشخیص داده شده در آنالیز XRD که متوجه به کاهش سهم میزان مونتموریلوینیت Ca-GH1-Raw می‌گردد، نوع بنتونیت کلسیمی نیز می‌باشد. (CaO٪ ۲,۹، CaO٪ ۲,۹٪، آیوسو و سانچز [۲۴] نشان داده‌اند که جذب نیکل گرمaza است.

خاک‌های رسی کلسیمی از ظرفیت جذب کمتری نسبت به H^+ برخوردارند [۱۴] که بیان گر رسوب کمتر هیدروکسید فلزی می‌باشد. هم‌چنین ظرفیت تبادل کاتیونی کمتر این نوع بنتونیت‌ها، و مقدار بار بیشتر Ca^{2+} نسبت به Na^+ نیز می‌تواند باعث کاهش ظرفیت جذبی Ni^{2+} شود. مقایسه‌ی نتایج دو نوع بنتونیت کلسیمی و سدیمی Raw-GH1 و Raw-ES3 بیان گر صحت این گفته می‌باشد.

جذب آهن، توسط خاک‌های رسی چندان مورد بررسی قرار نگرفته است. در آزمایش‌های مربوط pH محلول حاوی کاتیون‌های Fe^{3+} بالاتر از ۴ در نظر گرفته شد تا از احتمال جداشدن کاتیون‌های Fe^{3+} از طریق تشکیل رسوب کاسته شود. نتایج به دست آمده برای سه نمونه‌ی مورد بررسی (۶۲ و $K_d=۹۲,۲۷$) نشان می‌دهد که بنتونیت طبیعی به تنهایی نمی‌تواند جاذب مناسبی برای جداسازی Fe^{3+} باشد. انجام تصحیحات مناسب نظری فعل سازی اسیدی و ستونی شدن [۴] از آن جهت که به افزایش سطح و مکان‌های جذب منجر می‌شود و احتمال جذب را افزایش می‌دهد، قابل بررسی است.

علت دیگری که علاوه بر اسیدی بودن محیط برای جذب پایین Fe^{3+} می‌توان بیان نمود اشباع شدن سطح جاذب بنتونیت طبیعی در لحظات آغازین جذب می‌باشد که مانع نفوذ کاتیون‌های بیشتر Fe^{3+} به داخل منافذ و حفرات بنتونیت می‌شود. اسیدی بودن محلول به علت محلول مادر اولیه نیز عامل دیگری در میزان جذب پایین می‌باشد. اثر تغییر pH محلول در کارهای آتی قابل بررسی است.

مطالعات سال‌های اخیر در رابطه با جذب سرب نشان داده است که بنتونیت از قابلیت جذب خوبی برای سرب (II) برخوردار است. با افزایش pH از ۱,۴ به ۳/۴ میزان جذب از ۳۰٪ به ۹۴,۵٪ افزایش یافته است و در pH=۵ تقلیل یافته است. نشان داده شده است که حداقل ظرفیت جذب

لانگمویر سرب (II)-بنتونیت $52,6 \text{ mg g}^{-1}$ می‌باشد [۲۲].

در پژوهشی دیگر نشان داده شده است که در زمان تعادل ۱۸۰ دقیقه و در دمای 30°C ظرفیت جذب سرب (II) (از محلول 2g/L آن) برای مونتموریلوینیت طبیعی از $86,7\%$ ($21,6 \text{ mg g}^{-1}$) به $90,7\%$ ($22,7 \text{ mg g}^{-1}$) افزایش می‌یابد. در ۱۰ دقیقه جذب سرب (II) که شدیداً گرمaza نیز می‌باشد. در ۴۰ دقیقه اول اتفاق می‌افتد و بیشترین مقدار سرب (II) در ۴۰ دقیقه جذب می‌شود. زمان حصول تعادل ۱۸۰ دقیقه گزارش شده است. جذب سرب (II) بر روی مونتموریلوینیت و مونتموریلوینیت فعل شده با اسید از معادله‌ی درجه دوم تبعیت می‌کند که ضرایب ثابت سرعت آن به ترتیب $11,2 \times 10^{-3} \text{ g mg}^{-1} \text{ min}^{-2}$ و $8,4 \times 10^{-3}$ می‌باشد. میزان جذب تعادلی برای جاذب‌ها در مورد سرب در جدول ۵ گزارش شده است که باز هم بیشترین مقدار آن متعلق به نمونه‌ی Raw-ES3 می‌باشد [۱۴].



GH۱ با زمان‌های فعال‌سازی ۲، ۴ و ۶ ساعت و غلظت‌های ۵، ۶، ۷ و ۸ مول در لیتر سولفوریک اسید می‌باشند.

همان طور که از نتایج سمت چپ جدول ۷ در مورد جذب سرب مشخص می‌شود در این قسمت با توجه به نتایج K_d به دست آمده برای نمونه‌های طبیعی، جداسازی دو فلز Pb و Tl از GH۱-RAW یک‌دیگر توسط دو جاذب ES۳-RAW و GH۱-RAW مدنظر می‌باشد.

لازم به ذکر است که Pb و Tl محصولات نهایی واپاشی هسته‌ای Tl^{203} تولید شده در سیکلوترون می‌باشند. با جداسازی سرب از تالیم، از تالیم در پزشکی هسته‌ای از جمله در تشخیص سرطان تیروئید، و در تصویربرداری از قلب استفاده می‌شود.

عامل مهم‌تر در جذب Zn^{2+} کوچکی ابعاد ذرات آن است که منجر به سطح بیشتری می‌شود. با توجه به این که نمونه‌ی ES۳-RAW از خانواده‌ی کانی‌های رسی ریز اسماکتیتی دارای بیشترین سهم می‌باشد که مونتموریلونیت مهم‌ترین عضو این مجموعه است، لذا بیشترین میزان جذب Zn^{2+} تحت شرایط آزمایش مربوط به این نمونه می‌باشد.

۳-۴ بنتونیت فعال شده با اسید

از آنجایی که با نمونه‌های ساخته شده در شرایط غلظت ذکر شده بیشترین میزان جذب برای فلز سرب حاصل نگردید، نمونه‌های دیگری نیز مورد بررسی قرار گرفتند. نمونه‌های شماره ۵۷ تا ۶۸ مربوط به ES۳ و نمونه‌های شماره ۶۹ تا ۸۰ مربوط به

جدول ۷- ضرایب توزیع K_d محاسبه شده برای جذب فلزات سنگین سرب (Pb) و تالیم (Tl) توسط ۸۰ نمونه‌ی طبیعی و فعال شده بنتونیت‌های ES۳ و GH۱ با سولفوریک اسید.

Pb								Tl							
ES۳		GH۱													
ردیف	K_d														
۱	۲۲۴۴۸	۲۹	۴۴۳۲	۵۷	۵۰۱۱۸	۶۹	۲۵۸۷۷	۱	۸۸	۲۹	۱۰۲	۵۷	۱۷۳	۶۹	۱۶۵
۲	۲۹۶۶۷	۳۰	۱۹۲۲۱	۵۸	۶۳۲۵۰	۷۰	۷۸۱۶۴	۲	۸۴	۳۰	۹۲	۵۸	۱۵۰	۷۰	۱۶۶
۳	۴۵۹۳۹	۳۱	۱۱۳۵۹	۵۹	۴۴۲۶۵	۷۱	۶۵۵۳۳	۳	۷۳	۳۱	۱۰۱	۵۹	۱۸۴	۷۱	۱۶۷
۴	۵۰۸۶۵	۳۲	۴۰۸۵۰	۶۰	۳۶۷۹۰	۷۲	۶۸۷۸۷	۴	۱۰۵	۳۲	۹۳	۶۰	۱۶۸	۷۲	۲۱۲
۵	۴۸۰۶۷	۳۳	۵۵۲۶۶	۶۱	۳۷۷۵۴	۷۳	۳۹۲۲۵	۵	۸۵	۳۳	۸۸	۶۱	۱۶۸	۷۳	۱۷۴
۶	۴۹۷۹۶	۳۴	۴۸۹۱۷	۶۲	۵۵۸۴۵	۷۴	۷۸۱۶۴	۶	۸۱	۳۴	۸۰	۶۲	۱۷۴	۷۴	۱۸۳
۷	۳۶۲۹۲	۳۵	۴۴۵۸۲	۶۳	۵۸۸۰۹	۷۵	۷۰۵۳۹	۷	۸۹	۳۵	۹۳	۶۳	۱۸۱	۷۵	۱۵۷
۸	۳۹۵۸۳	۳۶	۲۳۶۴۹	۶۴	۵۸۸۰۹	۷۶	۵۹۶۵۴	۸	۱۰۰	۳۶	۱۰۳	۶۴	۱۷۸	۷۶	۱۶۵
۹	۳۵۵۹۱	۳۷	۴۸۱۳۷	۶۵	۶۷۶۶۷	۷۷	۴۳۵۴۷	۹	۹۳	۳۷	۸۹	۶۵	۱۶۳	۷۷	۱۵۴
۱۰	۵۱۶۵۶	۳۸	۴۷۱۱۲	۶۶	۵۴۵۶۱	۷۸	۶۵۵۳۳	۱۰	۹۰	۳۸	۸۶	۶۶	۱۷۲	۷۸	۱۶۵
۱۱	۵۱۹۷۹	۳۹	۴۱۸۸۱	۶۷	۵۵۱۰۴	۷۹	۷۲۲۳۸	۱۱	۸۰	۳۹	۹۴	۶۷	۱۸۴	۷۹	۱۷۸
۱۲	۳۶۵۳۲	۴۰	۵۱۰۲۱	۶۸	۴۸۲۲۶	۸۰	۵۶۲۲۳	۱۲	۹۳	۴۰	۶۵	۶۸	۱۶۷	۸۰	۱۶۲
۱۳	۳۳۶۴۱	۴۱	۴۶۷۱۴					۱۳	۸۱	۴۱	۹۶				
۱۴	۳۱۵۹۰	۴۲	۵۲۲۰۷					۱۴	۸۲	۴۲	۸۴				
۱۵	۴۴۳۲۲	۴۳	۵۲۱۴۲					۱۵	۷۴	۴۳	۷۵				
۱۶	۵۱۵۷۹	۴۴	۵۴۱۸۴					۱۶	۸۸	۴۴	۷۲				
۱۷	۵۱۳۳۶	۴۵	۵۷۷۶۴					۱۷	۸۵	۴۵	۸۵				
۱۸	۵۲۸۰۶	۴۶	۳۵۳۶۴					۱۸	۷۵	۴۶	۶۰				
۱۹	۴۸۲۰۷	۴۷	۴۴۳۴۳					۱۹	۸۳	۴۷	۸۱				
۲۰	۴۲۷۵۰	۴۸	۴۵۸۱۲					۲۰	۸۵	۴۸	۸۶				
۲۱	۳۸۳۰۳	۴۹	۴۳۵۲۹					۲۱	۱۰۶	۴۹	۸۷				
۲۲	۴۰۴۵۲	۵۰	۴۱۹۸۷					۲۲	۹۳	۵۰	۹۸				
۲۳	۱۳۹۸۸	۵۱	۴۳۹۹۱					۲۳	۹۳	۵۱	۹۸				
۲۴	۴۱۹۸۷	۵۲	۳۲۹۰۷					۲۴	۹۴	۵۲	۸۵				
۲۵	۴۴۷۰۲	۵۳	۳۶۴۵۲					۲۵	۹۹	۵۳	۸۷				
۲۶	۲۲۴	۵۴	۳۵۹					۲۶	۶۳۸	۵۴	۳۶۲				
۲۷	۲۹۶	۵۵	۶۸۱					۲۷	۵۲۰	۵۵	۳۱۲				
۲۸	۳۶۶	۵۶	۸۷۳۶					۲۸	۵۰۳	۵۶	۳۰۰				



شده‌ی ES^۳، میزان جذب $Pb^{۲+}$ بیشتری نشان می‌دهد (تقریباً ۱/۲ برابر، ردیف ۵۸ و ۷۰ جدول ۷).

همان‌طور که از نتایج جدول ۷ در مورد جذب تالیم برمی‌آید، فعال‌سازی اسیدی نه تنها باعث افزایش میزان جذب نمی‌شود بلکه میزان جذب Tl^{+} در هر دو نوع بنتونیت ES^۳ و GH1 را کاهش می‌دهد. (ردیف‌های ۲۶ تا ۲۸ و همچنین ۵۴ تا ۵۶ تالیم). بیشترین جذب Tl^{+} برای نمونه‌های طبیعی ES^۳ و GH1 مشاهده شده است (ردیف ۲۶ و ۵۴). نکته‌ی قابل ذکر دیگر این است که خردایش دو نمونه بنتونیت طبیعی از مش ۱۶ تا مش ریزتر ۲۰۰ با وجود این که سطح قابل جذب را افزایش می‌دهد اما از آن جهت که سهم کانی‌های رسی از جمله مونتموریلوبنیت را افزایش می‌دهد، میزان جذب Tl^{+} را کاهش داده است؛ یعنی، سهم کانی‌های غیررسی در جذب Tl^{+} از سهم کانی‌های رسی بیش‌تر است. همان‌سان که مشاهده می‌شود میزان جذب برای نمونه‌ی طبیعی ES^۳ با مش ۱۶ بنتونیت از نمونه طبیعی GH1 با مش ۱۶ بیش‌تر است (تقریباً ۱/۸ برابر، ردیف‌های ۲۶ و ۵۴). از مقایسه‌ی ردیف‌های ۵۸ و ۷۰ مربوط به بیشترین میزان جذب Tl^{+} و ردیف‌های ۲۶ و ۵۴ مربوط به بیشترین جذب $Pb^{۲+}$ برمی‌آید که K_d مربوط به Tl^{+} به مراتب کوچک‌تر از سرب است.

این نتایج نشان می‌دهد که فعال‌سازی اسیدی عامل مناسبی برای جداسازی دو کاتیون $Pb^{۲+}$ و Tl^{+} می‌باشد. همان‌طور که از مقایسه‌ی K_d دو کاتیون $Pb^{۲+}$ و Tl^{+} برمی‌آید (شکل ۴)، نمونه‌های شماره ۱۸ و ۴۰ مناسب‌ترین نمونه‌ی فعال‌سازی شده برای جداسازی کاتیون $Pb^{۲+}$ از پسماند حاوی $Pb^{۲+}$ و Tl^{+} می‌باشد. بدیهی است که برای نتیجه‌گیری قطعی در این مورد، بررسی محلول‌های حاوی هر دو فلز ضروری است. نمونه‌های فعال‌سازی شده‌ی شماره ۵۸ و ۷۰ نیز دارای K_d های نسبی ۴۲۱ و ۴۷۰ می‌باشند که مقادیر مطلوبی می‌باشند.

بالاخره این که، در تصحیح به روش فعال‌سازی اسیدی، بر اثر جانشینی ایزومری کاتیون‌های بین لایه‌ای نظر K^+ , Na^+ , $Ca^{۲+}$ وغیره با H^+ اسیدی میزان سطح و همچنین جای گاه‌های فعال اسیدی افزایش می‌یابند، که در نتیجه میزان جذب فلزات و فلزات سنگین افزایش می‌یابد.

برای فعال‌سازی اسیدی، میزان ۵۰ گرم از بنتونیت با مش ۲۰۰ (۷۵µm) [ASTM E:۱۱] توزین گردید و با نسبت‌های L:S مختلف ۸ و ۱۶ و ۲۴ (به ترتیب در ۴۰۰، ۸۰۰ و ۱۲۰۰ میلی‌لیتر از مایع) همگن گردید. برای بررسی اثر غلظت، از سولفوریک اسید با غلظت‌های ۱، ۰.۵، ۰.۳، ۰.۲، ۱.۵، ۰.۴، ۰.۶ و ۰.۷ mol در لیتر استفاده شد. اثر زمان با انتخاب زمان‌های ۲، ۴ و ۶h و اثر دما با انتخاب دماهای ۳۰، ۵۰، ۷۰، ۹۰ و ۱۰۰ درجه‌ی سانتی‌گراد برای سوسپانسیون بررسی گردید.

براساس رابطه‌ی ۲ مقادیر ضریب توزیع K_d فلزات سنگین سرب و تالیم مربوط به ۱۶۰ نمونه طبیعی و فعال شده اسیدی بنتونیت‌های ES^۳ و GH1 (هر کدام ۸۰ نمونه) بر حسب ml/gr در جدول ۷ آورده شده است. لازم به ذکر است ۸۰ نمونه‌ی بنتونیت، ۳ نمونه‌ی طبیعی و بقیه فعال، تهیه گردید. از نمونه‌ی شماره ۱ تا ۱۸ مربوط به ES^۳ و نمونه‌های شماره ۲۹ تا ۴۶ مربوط به GH1 می‌باشند که طی زمان‌های ۲، ۴ و ۶h و در غلظت‌های ۰.۵، ۱، ۰.۳، ۰.۲ و ۰.۱ mol در لیتر فعال‌سازی شده‌اند. نمونه‌های شماره ۱۹ و ۲۰ مربوط به ES^۳ و نمونه‌های شماره ۴۷ و ۴۸ مربوط به GH1 در شرایط غلظت ۲ مول در لیتر، زمان ۴ ساعت، دمای ۹۵°C و نسبت مایع به جامد ۴۰۰ و ۱۲۰۰ ml/۵۰ gr فعال شده‌اند. فعال‌سازی نمونه‌های شماره ۲۱ تا ۲۵ مربوط به ES^۳ و نمونه‌های شماره ۴۹ تا ۵۳ مربوط به GH1 نیز تحت همان شرایط غلظت و زمان، با نسبت مایع به جامد ۸۰۰ ml/۵۰ gr و در دمای ۳۰، ۵۰، ۷۰، ۹۰ و ۱۰۰ درجه‌ی سانتی‌گراد انجام پذیرفته است. سری نمونه‌های ۲۶ تا ۲۸ مربوط به ES^۳ و سری نمونه‌های ۵۴ تا ۵۶ مربوط به GH1 هر کدام، به ترتیب، نمونه‌ی طبیعی مش ۱۶ شسته نشده، نمونه طبیعی مش ۲۰۰ شسته نشده و نمونه طبیعی مش ۲۰۰ شسته شده می‌باشند. بر اساس اطلاعات جدول ۷ میزان جذب $Pb^{۲+}$ در غلظت ۵ مول در لیتر با نسبت L/S=۸۰۰ در مدت زمان ۶h و در دمای T=۹۵+۱°C به بیش‌ترین مقدار خود برای بنتونیت ES^۳ می‌رسد (ردیف ۵۸ جدول ۷). میزان جذب $Pb^{۲+}$ برای بنتونیت GH1، در غلظت تا ۴ مول در لیتر، با افزایش نسبت L/S تا مقدار بهینه‌ی ۸۰۰ و با افزایش زمان تا ۴h و دما تا دمای بهینه‌ی T=۹۵+۱°C به بیش‌ترین مقدار خود برای بنتونیت ES^۳ می‌رسد (ردیف ۷۰ جدول ۷). بهترین نمونه‌ی فعال شده GH1 نسبت به بهترین نمونه‌ی فعال

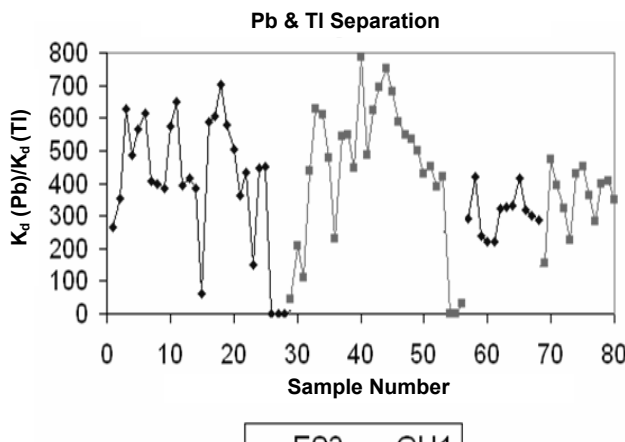


تشکر و قدردانی

مؤلفان لازم می‌دانند یاد و خاطره‌ی زنده یاد مرحوم آقای دکتر سید‌حميد جزایری رضوان ... تعالی علیه را که این تحقیق را پایه‌گذاری نمودند گرامی بدارند. ضمناً نویسنده‌گان از جناب آقای دکتر محمود حبیبیان که راهنمایی‌های ایشان مؤثر و مفید واقع شده‌اند، کمال تشکر و امتنان را دارند.

پی‌نوشت‌ها:

- ۱- Clay Mineral
- ۲- Isomorphic Substitution
- ۳- Activation
- ۴- Pillaring



شکل ۴- نمودار نسبت ضریب توزیع K_d سرب به تالیم برای نمونه طبیعی و فعالسازی شده با اسید بنتونیت‌های ES3 و GH1 $M=0,3\text{ g}$, $V=25\text{ cc}$ و با غلظت‌های اولیه و ثانویه داده شده.

۴- نتیجه‌گیری

بنتونیت به علت وجود کانی رسی غالباً سازنده آن یعنی مونتموریلونیت که باعث تقویت خواص جذبی آن برای فلزات سنگین از جمله سطح، مکان‌های اسیدی بروونستدی و لویسی و ظرفیت بالای تبادل کاتیونی می‌شود. این امر، استفاده از آن برای جداسازی اغلب فلزات به ویژه فلزات موجود در پسماندهای مایع عمده‌تاً حاوی Cr, Fe, Cu, Co, Pb, Tl, Ni و Zn را مناسب می‌سازد. برای بنتونیت سدیمی ES3-RAW به علت دارا بودن بیش‌ترین مقدار کانی‌های رسی به ویژه مونتموریلونیت نسبت به بقیه‌ی بنتونیت‌های مورد بررسی اثر افزایش قابلیت جذب مشهود‌تر می‌باشد.

در اثر انجام تصحیح به روش فعالسازی اسیدی، بر اثر جانشینی ایزومرفی کاتیون‌های بین لایه‌ای نظر Ca^{2+} , Na^+ , K^+ و غیره با H^+ اسیدی میزان سطح و همچنین مکان‌های فعال اسیدی افزایش می‌یابند که در نتیجه میزان جذب فلزات و فلزات سنگین افزایش می‌یابد.

نتایج به دست آمده نشان داد که از بین دو بنتونیت سدیمی ES3-RAW و کلسیمی GH1-RAW، نمونه‌ی ES3 فعال شده با سولفوریک اسید ۵ مولار بیش‌ترین میزان جذب را نسبت به سرب داشته است. این امر، با توجه به این که میزان جذب تالیم تحت این شرایط ناچیز است، جداسازی سرب و تالیم از یک‌دیگر را امکان‌پذیر می‌سازد.



References:

1. K.A. Carrado, "Introduction: clay structure, surface acidity and catalysis," in: "Handbook of layered materials" (S.M. Auerbach, K.A. Carrado, P.K. Dutta, Eds), Marcel Dekker, New York, 1 (2004).
2. T.J. Pinnavaia, Intercalated Clay Catalysts, *Science*, 220, 365-371 (1983).
3. R. Virta, USGS minerals information, US Geological Survey, Mineral Commodity Summary, (January 2002). (<ftp://minerals.usgs.gov/minerals/pubs/commodity/clays/190496.pdf>).
4. S. Babel and T.A. Kurniawan, "Low cost adsorbents for heavy metals uptake from contaminated water: a review," *Journal of Hazardous Materials*, 97, 219-243 (2003).
5. R. Virta, USGS minerals information, US Geological Survey, Mineral Commodity Summary, (January 2001). (<ftp://minerals.usgs.gov/minerals/pubs/commodity/zeolites/zeomyb00.pdf>).
6. S.K. Ouki, M. Kavanagh, "Performance of natural zeolites for the treatment of mixed metal-contaminated effluents," *Waste Manage. Res.*, 15, 383-394 (1997).
7. S.M. Jasinski, SGS Minerals Information, US Geological Survey Mineral Commodity Summary 2001, (January 2002). (<ftp://minerals.usgs.gov/minerals/pubs/commodity/peat/510302.pdf>).
8. S. Babel and T.A. Kurniawan, "Cr (VI) removal from synthetic wastewater using coconut shell charcoal and commercial activated carbon modified with oxidizing agent and/or chitosan," 54, 951-967 (2004).
9. D.C. Sharma, C.F. Forster, "Removal of hexavalent chromium using sphagnum moss peat," *Water Res.*, 27, 1201-1208 (1993).
10. T. Mathialagan, T. Viraraghavan, "Adsorption of cadmium from aqueous solutions by perlite," *J. Hazard. Mater.*, 94, 291-303 (2002).
11. G.L. Rorrer, J.D. Way, "Chitosan beads to remove heavy metal from wastewater," *Dalwoo-ChitoSan* (May 2002). ([ftp://dalwoo.com/chitosan/rorrer.html](http://dalwoo.com/chitosan/rorrer.html)).
12. C.E. Marshall, "Layer lattices and base-exchange," *Z. Krist.*, 91, 433-449 (1935).
13. K.G. Bhattacharyya, S. Sen Gupta, "Influence of acid activation on adsorption of Ni(II) and Cu(II) on kaolinite and montmorillonite: kinetic and thermodynamic study," *Chemical Engineering Journal*, 136, 1-13 (2008).
14. K.G. Bhattacharyya, S.S. Gupta, "Adsorption of a few heavy metals on natural and modified kaolinite and montmorillonite: a review," *Advanced Colloid Interface Science*, 1-55 (2009).
15. R.S. Lamar, "Bentonite Activation," *California Journal of Mines*, 49, 297-302 (1951).
16. S.J. Gregg, "In surface phenomena in chemistry and biology: Danielli, J., Pankhurst, K.G.A.; Riddiford, A.C.; Pergamon Press; London, 195 (1958).
17. F.R.V. Diaz, P.S. Santos, "Studies on the Acid Activation of Brazilian Smectitic Clays," *Quim Nova*, 24(3), 345-353 (2001).
18. H.Y. Zhu and S. Yamanaka, "Molecular recognition by Na-loaded alumina pillared Clay," 93, 477-480 (1997).
19. S.H. Jazayeri, M. Habibian, M. Ghannadi, M. Hayati-Ashtiani, "Instrumental analyses of zeolitic bentonites," *The 1st Iran International Zeolite Conference (IIZC08)*, Amirkabir University of Technology (Tehran Polytechnic), Tehran, Iran, 29 April-1 May (2008).
20. S. Sen Gupta, K.G. Bhattacharyya, "Adsorption of Ni(II) on Clays," *Journal of Colloid and Interface Science*, 295, 21-32 (2006).
21. K.G. Bhattacharyya, S. Sen Gupta, "Adsorption of Co(II) from aqueous medium on natural and acid-activated Kaolinite and montmorillonite," *Separation Science and Technology*, 42, 3391-3418 (2007).
22. S. Sen Gupta, K.G. Bhattacharyya, "Interaction of metal ions with clays. I. A Case 367 Study with Pb(II)," *Applied Clay Science*, 30, 199-206 (2005).
23. S. Simsek, U. Ulusoy, O. Ceyhan, "Adsorption of UO_2^{2+} , Tl^+ , Pb^{2+} , Ra^{2+} and Ac^{3+} onto polyacrylamide-bentonite composite," *Journal of Radioanalytical and Nuclear Chemistry*, 256, 315-321 (2003).
24. E. Alvarez-Ayuso, A. Garcia-Sanchez, "Removal of heavy metals from waste waters by natural and Na-exchanged bentonites," *Clays and Clay Minerals*, 51, 475-480 (2003).